

действия разрыва волокна на окружающую его матрицу. По нашему мнению, эти два положения составляют основу теории, способной в дальнейшем обосновать в деталях экспериментальные данные [4].

Рассмотрим теперь подобное вклад отдельных разрывов волокон в рамках тех же представлений. На раннем этапе процесса накопления разрывов волокон преобладают одиночные разрывы, они же дают основной вклад в выделяемую мощность W (рис. 3). Здесь же явно видна последовательность «включения» механизмов согласованных разрывов возрастающей кратности. На рис. 3 видно затухание действия механизмов по мере исчерпания мест разрывов волокон. Особое внимание следует обратить на заметное возрастание числа многократных разрывов, существенно превышающих количество одиночных разрывов волокон.

4 Представленные результаты расчетов на ЭВМ подтверждают важность учета кооперативности процесса накопления повреждений на примере образца ВК. Специфика данного материала связана с его сильной анизотропией механических свойств: дальнодействием возмущения волокон вдоль направления растяжения и локализацией возмущения матрицы при разрыве высокомодульного волокна.

4а Авторы благодарят А. Н. Орлова за полезные советы и внимание к работе.

Литература

- [1] Аргон А. В. В кн.: Композиционные материалы. Разрушение и усталость. М., 1978, с. 166—202.
- [2] Карпинский Д. Н., Ахтырец Д. Ф. Изв. Сев.-Кавк. научн. центра высш. шк. Естеств. науки, 1980, № 1, с. 30—32.
- [3] Жданова И. Н., Карпинский Д. Н. Изв. Сев.-Кавк. научн. центра высш. шк. Естеств. науки, 1986, № 2, с. 67—72.
- [4] Лексовский А. М., Абдуланов А., Ахунов Р. П. и др. МКМ, 1984, № 6, с. 1004—1010.
- [5] Wu F. H., Freund L. B. J. Mech. Phys. Sol., 1984, v. 32, N 2, p. 119—132.
- [6] Баженов С. Л., Маневич Л. И., Берлин Ал. Ал. ДАН СССР, 1984, т. 277, № 4, с. 854—857.

Ростовский государственный университет
им. М. А. Суслова

Научно-исследовательский институт
механики и прикладной математики
Ростов-на-Дону

Поступило в Редакцию
27 июня 1987 г.

УДК 621.384.6

Журнал технической физики, т. 58, в. 11, 1988

ДОУСКОРЕНИЕ СИЛЬНОТОЧНЫХ ИОННЫХ ПУЧКОВ В ЛИНЕЙНОМ ИНДУКЦИОННОМ УСКОРИТЕЛЕ

B. A. Кияшко, E. A. Корнилов, B. A. Винокуров

Несмотря на впечатляющие результаты по генерации мощных ионных пучков (МИП), по существу нерешенной является проблема доускорения сильноточных зарядово-нейтрализованных пучков ионов, энергия которых в ряде случаев должна существенно превышать мегавольтный уровень [1]. Для увеличения энергии МИП можно использовать способ ускорения ионов в линейном плазменном индукционном ускорителе [2]. Однако при транспортировке МИП в однородной плазме в области дрейфа между ускоряющими зазорами наблюдается пучково-плазменная неустойчивость, приводящая к аномально большим потерям энергии ускоренных ионов, что существенно снижает эффективность ускорения [3, 4]. Известно [5], что в неоднородной плазме, когда масштаб неоднородности меньше длины релаксации пучка, происходит срыв резонанса между волнами и частицами, а коллективное взаимодействие при этом подавляется. Как показано в данной работе, использование неоднородной плазмы в канале транспортировки пучка позволяет реализовать эффективное доускорение МИП в линейном индукционном ускорителе.

Целью данной работы является экспериментальное исследование возможности доускорения килоамперных ионных пучков микросекундной длительности в трехзазорном ионном индукционном ускорителе (ИИНДУС), содержащем инжектор ионного пучка, описанный в [6], и две последовательно расположенные ускоряющие секции, каждая из которых собрана

из торoidalных ферромагнитных сердечников и нагружена на свой ускоряющий зазор (рис. 1).

Ускоряющее напряжение в инжекторе ИИНДУС достигало ~ 300 кВ при длительности импульса $\sim 10^{-6}$ с, а в ускоряющих зазорах — по 120 кВ при длительности $\sim 5 \cdot 10^{-7}$ с.

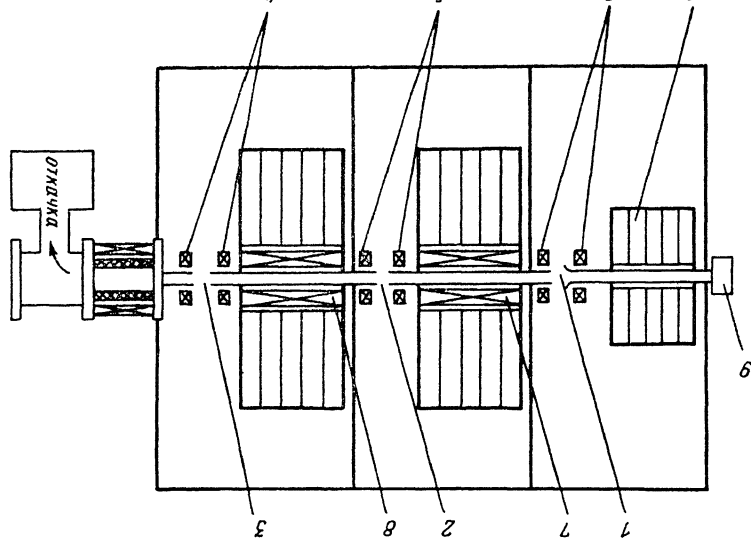


Рис. 1. Схема ускоряющей системы ИИНДУС.

1 — инжекторный зазор; 2 — первый доускоряющий зазор; 3 — второй доускоряющий зазор; 4, 5, 6 — катушки изолирующего магнитного поля «касп»-геометрии; 7, 8 — соленоиды ведущего магнитного поля; 9 — импульсный газовый клапан; 10 — ферромагнитные сердечники.

Подавление электронного тока в ускоряющих зазорах осуществлялось изолирующим магнитным полем остроугольной геометрии, которое создавалось импульсными катушками,

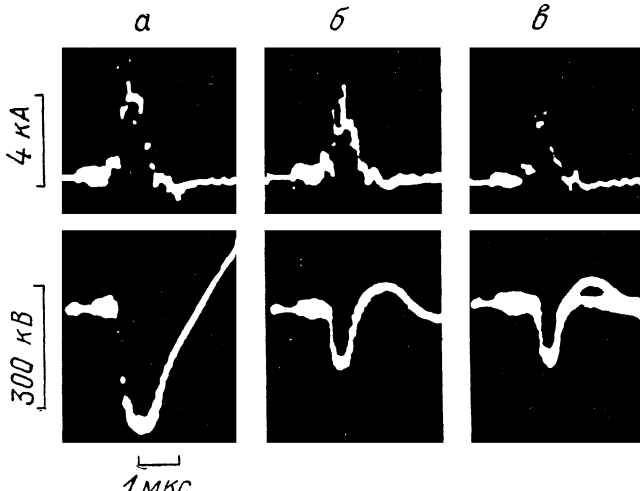


Рис. 2. Осциллограммы импульсов ускоряющего напряжения и тока ионного пучка по длине ИИНДУС.

а — инжектор, б — первая ускоряющая секция, в — вторая ускоряющая секция.

включенными навстречу друг другу, и достигало своего максимального значения в области «каспа» $B_{\max} \sim 10$ кГс. Ведущее магнитное поле B_0 , обеспечивающее транспортировку зарядово-нейтрализованных ионных пучков в области дрейфа, создавалось соленоидами, расположенными между ускоряющими зазорами, и достигало значения $B_0 \sim 10$ кГс. Рабочий газ (водород или дейтерий) подавался импульсным клапаном в предварительно откаченный анод-катодный зазор инжектора, где при включении магнитного поля и ускоряющего на-

приложения газ ионизовался и образовывалась плазма, являвшаяся источником ионов. При этом в ускорительном канале ИИНДУС создавалось неоднородное, спадающее по длине ускорения распределение плотности плазмы с градиентом $dN_e/dz \sim 10^{12}-10^{13} \text{ см}^{-4}$, что приводило к подавлению пучково-плазменного взаимодействия [3, 4]. В данных экспериментах проводились измерения тока, энергосодержания и мощности ионных пучков на выходе из инжектора и ускоряющих секций. Для протонных пучков проводилась также регистрация мгновенных γ -квантов, образующихся в реакции $F^{19}(p, \gamma)O^{16}$ при облучении протонами фторопластовых мишней, а для пучков дейтонов измерялся выход нейтронов из мишней, содержащих CD_2 , что позволило оценить количество дейтонов, ускоренных за импульс.

В результате проведенных экспериментов установлено, что ионные пучки микросекундной длительности с током 3–4 кА и энергией инъекции 200–300 кэВ могут быть эффективно доускорены с помощью ИИНДУС до энергии 400–500 кэВ. При этом поток нейтронов на выходе ускорителя составил $3 \cdot 10^9$ нейтр./имп., а полное число дейтонов с энергией, превышающей 400 кэВ, достигало $5 \cdot 10^{15}$ ион/имп. На рис. 2 представлены осциллограммы импульсов ускоряющего напряжения на зазорах ИИНДУС и тока ионного пучка по длине ускорения. Некоторое снижение тока на выходе первой ускоряющей секции (рис. 2, б), по-видимому, связано с недостаточно хорошим качеством пучка, формируемого данным инжектором, что приводит к необходимости уменьшения углового и энергетического разбросов ионов в инжекторе. Следует отметить, что в отличие от [7, 8], где ионы ускорялись в кольцевом канале с изолирующим радиальным магнитным полем, в данном случае пучки ионов формируются и доускоряются в односвязной области, содержащей изолирующий магнитный «касп», а ускоряющие зазоры являются по сути осевыми плазменными линзами [9]. При этом радиальная фокусировка ионных пучков в области дрейфа обеспечивается электрическим полем объемного заряда нейтрализующих пучок электронов, которыедерживаются в радиальном направлении ведущим магнитным полем. Это является одним из важных преимуществ данного метода ускорения по сравнению с традиционными, поскольку благодаря коллективной фокусировке в ускорителе ИИНДУС удается транспортировать килоамперные ионные пучки при умеренных значениях магнитного поля ($B_0 \sim 10$ кГс) и сравнительно невысокой энергии инъекции (\sim сотни кэВ).

Таким образом, в данной работе экспериментально показано доускорение мощных нейтрализованных по заряду ионных пучков в линейном индукционном ускорителе с коллективной фокусировкой и изолирующим магнитным полем типа «касп» в ускоряющих зазорах. Полученные результаты могут оказаться полезными при разработке сильноточных ускорителей ионов на большие энергии.

В заключение авторы благодарят Я. Б. Файнберга за интерес к работе и обсуждение результатов.

Литература

- [1] Dreik P. L., Burns E. J. T., Slutz S. A. et al. J. Appl. Phys., 1986, v. 60, Z 3, p. 878–897.
- [2] Кияшкио В. А., Коляда Ю. Е., Корнилов Е. А., Файнберг Я. Б. Письма в ЖТФ, 1977, т. 3, № 23, с. 1257–1259.
- [3] Кияшкио В. А., Корнилов Е. А., Коляда Ю. Е., Файнберг Я. Б. Письма в ЖТФ, 1979, т. 5, № 17, с. 1073–1077.
- [4] Keyashko V. A., Kornilov E. A., Kolyada Yu. E., Fainberg Ya. B. — Proc. 3 Intern. Conf. on high power electron and ion beam research and technology. Novosibirsk, 1979, v. 1, p. 97–102.
- [5] Михайловский А. Б. Теория плазменных неустойчивостей. М.: Атомиздат, 1977, т. 2, 360 с.
- [6] Кияшкио В. А., Корнилов Е. А., Винокуров В. А. Письма в ЖТФ, 1984, т. 10, № 5, с. 264–267.
- [7] Морозов А. И., Лебедев С. В. В кн.: Вопросы теории плазмы. М.: Атомиздат, 1974, с. 247–381.
- [8] Хафрис С., Андерсон Р., Фримен Дж. и др. Атомная техника за рубежом, 1982, № 8, с. 37–38.
- [9] Кияшкио В. А., Корнилов Е. А., Винокуров В. А. Тез. докл. Всес. семинара «Плазменная электроника». Харьков, 1983, с. 88–90.

Харьковский физико-технический
институт АН УССР

Поступило в Редакцию
30 июня 1987 г.